

وادي بطحان في المدينة المنورة

"دراسة مورفومترية بإستخدام نموذج الارتفاعات الرقمي"

د. حمد أحمد التويجري*

د. فرحان حسين الجعدي*

خالد حامد الحربي**

خالد فرج القحطاني*

الملخص :

يعتبر حوض وادي بطحان أحد أهم أودية المدينة المنورة في التأثير على الحرم النبوى الشريف وذلك لوقوعه بشكل كامل ضمن الحوض الاندى للوادى الذى تبلغ مساحة التصريف ٢٧٢,١٦ كم^٢. وقد إعتمدت هذه الدراسة في منهاجيتها على بيانات الارتفاعات الرقمية (DEM) لإستخلاص الخصائص المورفومترية وتحليلها باستخدام نظم المعلومات الجغرافية (GIS). وبعتبر وادي بطحان من اودية الرتبة الخامسة التي يبلغ عدد المجرى فيه ٢٢٢ رافداً وبمجموع أطوال تقدر بـ ٣٧١,٤٥٥ كم. وعلى الرغم من وقوع الحرم بشكل كامل في داخل حدود الحوض إلا أن نتائج الدراسة تشير الى محدودية تأثير السيلول على الحرم النبوى الشريف بسبب انخفاض كثافة التصريف التي يصل معدلها الى ١,٣٦ كم/كم^٣ حيث يقود ذلك إلى بطء تأثير السيلول.

الكلمات المفتاحية : نظم المعلومات الجغرافية، نموذج الارتفاعات الرقمية، مورفومترى، حوض التصريف، وادي بطحان.

المقدمة :

تلعب الأودية في المناطق الجافة دوراً مهماً في تزويد المكامن الجوفية بالمياه خلال فترات الجريان والتربة الخصبة (الدوغان، ١٩٩٩؛ آل سعود، ٢٠٠٣؛ الجعدي، ٢٠٠٤م). غير أنها تتسبب أحياناً أخرى في حدوث سيلول جارفة وغمراً لكثير من المناطق الحضرية ينتج عنها كوارث بيئية متلماً حدث في سيلول مدينة جدة عام ٢٠٠٩م. وبعد التحليل المورفومترى للأحواض الجافة أحد أهم العناصر

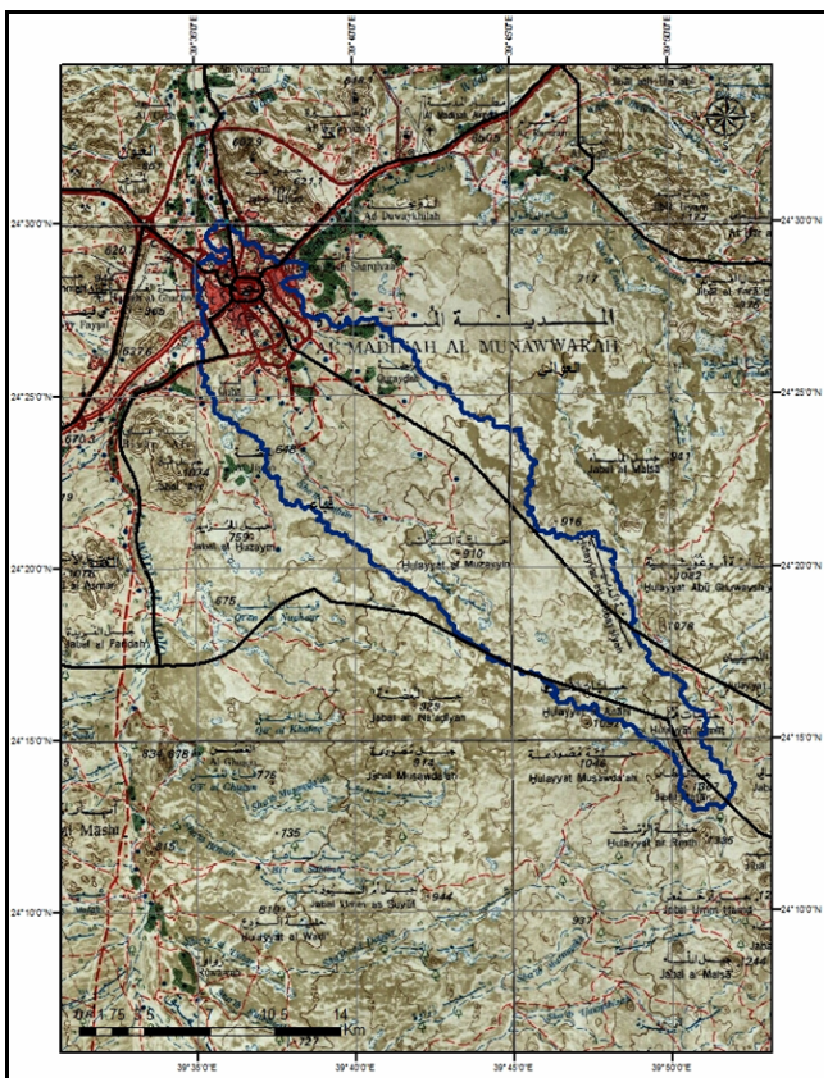
* قسم الجغرافيا، كلية الاداب، جامعة الملك سعود، المملكة العربية السعودية.

** قسم العلوم الاجتماعية، كلية الاداب والعلوم الانسانية، جامعة طيبة، المملكة العربية السعودية.

التي يعتمد عليها الباحث عند دراسة تأثير السيل على المناطق الحضرية والريفية الصحراوية (صالح، ١٩٩٩). فالقياسات المورفومترية للتضاريس والشبكة المائية هي إحدى أهم البيانات الكمية التي يحتاجها الجيومورفولوجي في تقسيم وتحليل العمليات الجيومورفولوجية Geomorphological processes المتحكمه في نشأة وتطور أشكال الأرض Landforms. ولقد تطورت على مدى العقود الخمسة الماضية في المملكة أساليب الحصول على البيانات المورفومترية وتحليلها بدءاً من الخرائط الطبوغرافية والصور الجوية ومروراً بالصور الفضائية إلى أن وصلت إلى استخدام نظم المعلومات الجغرافية GIS (آل سعود، ١٤٢٣هـ؛ الدواعان، ١٩٩٩؛ الغامدي، ٤٢٠٠٤م؛ الحواس، ٢٠٠٧م، الجعدي، ٢٠٠٤م). وتتوفر الدراسات المورفومترية باستخدام نظم المعلومات الجغرافية للأودية إمكانيات مقدمة في فهم خصائص الأودية وتحديد درجات خطورتها على المناطق الحضرية. وقد ساهمت هذه النظم بما تمتلكه من قدرات عالية في المعالجة والتحليل في تسهيل وتبسيير المعالجة الرقمية لنتائج الخصائص وإنماطها في شكل خرائط ذات درجة عالية من الدقة مع توفير الوقت والجهد المستغرق في إنجاز مثل تلك الدراسات مقارنة بالطرق التقليدية المتبعه في استخراج الخصائص المورفومترية للأودية. كما تتميز هذه النظم بتمكن أصحاب القرار والمخططين من التعديل والإضافة على قاعدة البيانات وموائمتها مع البرامج الخاصة بمعالجة صور الأقمار الصناعية مثل برنامج إرداس وتلك البرامج الخاصة بالرسم الهندسي مثل الأوتوكاد.

ويسيطر النطاق الحضري للمدينة المنورة على منطقة سهلية تحيط بها المرتفعات الجبلية التي تتكون من الصخور البركانية وبعض الصخور المتحولة. وتلعب هذه الصخور دوراً مهماً في تشكيل الأودية وإنماطها حيث يسود النمط الشجري (الدواعان، ١٩٩٩). وبخترق سهل المدينة ثلاثة مجاري اودية (وادي قناة والعقيق وبطحان). وبعد وادي بطحان الذي يبدأ من خط طول (٣٦°٣٩'٥١") شرقاً ودائرة عرض (٢٤°١٣') شمالاً وينتهي عند خط طول (٣٩°٣٦') شرقاً ودائرة عرض (٣٠°٤٣') شمالاً أحد أهم هذه الأودية التي تتحرر في سهل المدينة المنورة من الجهة الجنوبية الشرقية ماراً بمسجد قباء والمسجد النبوي الشريف حتى ينتهي عند منطقة التجمع بمنطقة الأسيال كما في الشكل رقم (١) حيث يلتقي بأودية قناة والعقيق (الدواعان، ١٩٩٩م؛ والصيدلاني، ١٤٣٠هـ). وقد ذكر الصيدلاني (١٤٣٠هـ) أن المجرى الرئيسية للوادي طالتها عدد من التعديات في هيئة زيادة وتمدد للمزارع المخالفه وتوسيع النطاق العمراني مما ينذر بمخاطر سيلية في حال الهطل المطري الشديد والمفاجئ. وتحتاج هذه الاستنتاجات إلى مزيداً من الدراسات المورفومترية لحوض هذا الوادي وما يمثله من درجة خطورة على المناطق العمرانية. فالدراسة المورفومترية لوادي بطحان مهمة للمخططين وأصحاب القرار المهتمين بالتخطيط العمراني وخاصة محيط الحرم النبوي الشريف ووسط المدينة. كما ستعمل الدراسة على توفير قاعدة بيانات مهمة للدراسات المستقبلية التي تتناول الجوانب الهيدرولوجية

والجيومورفولوجية لأودية المدينة المنورة للحد من أخطارها على البنية الأساسية والتطوير المستقبلي للنطاق العمراني للمدينة. ونظراً لقلة الدراسات المورفومترية والهيدرومورفومترية لهذه الأودية ونظرًا لتطور التقنية وتوفير بيانات متقدمة تمكّن الباحثون من إشتقاق المجاري المائية برتبتها المختلفة بصورة دقيقة فإن هذه الدراسة تهدف إلى استخدام نموذج الإرتفاعات الرقمية DEM عالية الوضوح المكانى لإشتقاق الخصائص المورفومترية لحوض وادي بطحان وخطورته على الحرم النبوى الشريف.



شكل (١) : منطقة الدراسة حيث يظهر فيها وادي بطحان مخترقاً النطاق العمراني للمدينة.

منهجية الدراسة :

تعتمد هذه الدراسة على المنهج التحليلي والكمي حيث تستخدم نموذج الارتفاعات الرقمية DEM التي تم الحصول عليها من قمر Aster بدرجة وضوح مكاني تصل إلى ٣٠ م. فقد تم إنشاء الأحواض والرتب المائية لمنطقة المدينة المنورة عبر إستخلاص "Extraction" نقطة الإلقاء بعد حدود الحرم النبوي. وقد تم استخدام المنهج الكمي لإجراء التحليلات المتعلقة بالمتغيرات المورفومترية لحوض وادي بطحان وهي كالتالي كما هو موضح في الجدول (١) :

جدول (١) : المتغيرات المورفومترية.

المراجع	المعادلة	المتغيرات المورفومترية	
Schumm (1956)	GIS software - Raster Calculator	محيط الحوض (P)	خصائص الشكلية
Schumm (1956)	GIS software - Raster Calculator	مساحة الحوض (A)	
Schumm (1956)	GIS software - Raster Calculator	طول الحوض (Lb)	
Schumm (1956)	BW= A/Lb	عرض الحوض (Wb)	
Horton (1932)	Ff = A / Lb ²	معامل شكل الحوض (Rf)	
Strahler (1964)	Rc= 4*3.14*A/P ²	معامل استدارة الحوض (Rc)	
Schumm (1956)	Re= (2\sqrt{(A/\pi)})/Lb	نسبة الاستطالة (Re)	خصائص التضاريسية
Schumm (1956)	GIS software - Raster Calculator	الارتفاع الأقصى (Z)	
Schumm (1956)	GIS software - Raster Calculator	الارتفاع الأدنى (z)	
Burrough (1986)	GIS software - Raster Calculator	درجة الانحدار للحوض (S)	
Strahler (1957)	R = Z - z	التصرس (R)	
Schumm (1956)	Rr = R/Lb	التضاريس النسبية (Rr)	
Strahler (1957)	Hierachial rank	رتب المجرى (U)	خصائص الشبكة المائية
Horton (1945)	Nu = N1+N2+ +Nn	عدد المجرى حسب الرتبة (Nu)	
Horton (1945)	Length of the stream	طول الرتب (Lu)	
Horton (1945)	Lur =Lu/(Lu-1)	معدل طول الرتب (Lur)	
Strahler (1964)	1+Nu / Nu=Rb	نسبة التشعب (Rb)	
Horton (1932)	Dd = Lu/A	كثافة التصريف (Dd)	
Horton (1932)	Fs = Nu/A	تكرار الرتب (Fs)	خصائص التصريف
Smith (1950)	T = Dd * Fs	نسيج التصريف (T)	
Horton (1945)	Lo = 1/ Dd*2	طول التدفق الأرضي (Lo)	

التحليل والمناقشة

١) الخصائص الشكلية :

يوضح الجدول رقم (٢) نتائج قياس المتغيرات الشكلية لحوض وادي بطحان على النحو التالي:

- **محيط الحوض** (Basin Perimeter): الذي يأخذ رمز (P) ويحسب بالكيلومتر وتمحور أهمية حسابه لإرتباط المتغيرات المورفومترية الأخرى للحوض به كمساحة الحوض وشكله وعرضه وطوله (Miller, 1953). ويسمى أحياناً محيط الحوض بخط تقسيم المياه. وتم قياس محيط الحوض بالاعتماد على نموذج الارتفاعات الرقمية DEM وبدرجة وضوح ٣٠ م لحوض وادي بطحان. وقد بلغ محيط حوض وادي بطحان ١٢٦,٢٥ كم.
- **مساحة الحوض** (Basin Area) : ورمزه (A) ويحسب بالكيلومتر مربع ويتم حسابه آلياً بعدما يتم تعين وتحديد خط تقسيم المياه. حيث يتم حساب مساحة الحوض باستخدام نظم المعلومات الجغرافية (ArcMap10.2) من خلال الاوامر التالية: Spatial Analyst Tools- Hydrology- Basin Raster Calculator أو مباشرة من خلال جدول بيانات الحوض واختيار امر Geometry Calculator. ولمساحة الحوض تأثيراً طرياً على مقدار حجم التصريف المائي داخل الحوض (محسوب، ٢٠٠٣). وقد بلغت مساحة حوض وادي بطحان بناءً على ذلك ٢٧٢,١٦ كم.
- **طول الحوض** Basin Length ورمزه (Lb) ويحسب بالكيلومتر أو بالเมตร. ويتم قياس طول الحوض باستخدام نظم المعلومات الجغرافية (ArcMap10.2) من خلال استخدام أدوات القياس. بقياس الخط المستقيم الذي يصل بين نقطة على المنبع بنقطة المصب في أسفل الحوض. وهذا الذي تم اتباعه عند قياس طول حوض وادي بطحان حيث بلغ ٤١,٠٧ كم.
- **عرض الحوض** Basin Width ورمزه (Wb) ويحسب اما بالكيلومتر أو بالметр. يُعد قياس عرض الحوض من القياسات المورفومترية التي تستخدم كمؤشر لتحديد حجم أخطار السيول والفيضانات لتأثيره على حجم التصريف. ويتم قياسه وفقاً لمعادلة عرض الحوض جدول (١) (مساحة الحوض/طول الحوض) فلقد بلغ عرض حوض وادي بطحان حوالي ٦,٦٢ كم. ويحدد طول الحوض وعرضه شكل الحوض حيث ان الاحواض الطولية اكثر سرعة في التدفق واق في التصريف (Singh and Singh, 1997).
- **معامل شكل الحوض** Form Factor ورمز (Ff) وهو مؤشر يدل على مدى تناسب الحوض في شكله العام. ويترواح ناتجه ما بين صفر الى ١. فكلما اقترب المعامل من رقم ١ دل على

اتخاذ الحوض شك لا دائريا وهذا بدوره مؤشرا لسرعة تحويل مياه الأمطار إلى مياه سيلول بينما اذا قلت قيمته وقربت من الصفر دل على عدم تناسق شكل الحوض وعدم انتظامه (محسوب، ٢٠٠٣م). ويتم حساب معامل شكل الحوض بالتعويض في المعادلة (جدول ١). فمعامل شكل الحوض هو ناتج قسمة مساحة الحوض (كم^2) على مربع أقصى طول للحوض (كلم). ولقد بلغ معامل الشكل في حوض وادي بطحان ٠٠١٦. وتدل النتيجة على عدم تناسق شكل الحوض مما يعني بطء في تحويل مياه الأمطار إلى مياه سيلول.

نسبة استدارة الحوض المائي Basin Circularity Ratio (Rc) وهو ناتج قسمة مساحة الحوض على مساحة دائرة لها نفس المحيط الحوضي. ويتم حسابه من خلال التعويض في المعادلات كما في الجدول رقم (١). بلغ معامل الاستدارة لحوض وادي بطحان ٠٠٠٢. وهو ما يعني بعده عن الشكل الدائري الكامل يعطي ذلك مؤشرا أن الحوض غير منتظم الأجزاء وممتد مع تعرج في خط تقسيم المياه.

نسبة الاستطاللة Elongation ratio (Re) وهو نسبة قطر الدائرة التي لها نفس مساحة الحوض والحد الأقصى لطول الحوض (Schumm, 1956). ويتم حسابه من خلال التعويض في المعادلات كما في جدول (١). وتتراوح نسبة الاستطاللة فيأغلب الأحواض ما بين ٠٠٦٠ إلى ١٠٠. فإذا اقتربت القيمة من ١٠٠ فإنها تشير إلى تضرس منخفض للغاية مع شكل دائري (Magesh, et al., 2011). وتبلغ نسبة الاستطاللة لحوض وادي بطحان ٤٥٪. وهذا يدل على وجود تضرس عالي مع شكل حوض ممتد وبعيد عن الشكل الدائري.

جدول (٢) : نتائج قياس المتغيرات الهندسية لحوض وادي بطحان.

نسبة الاستطاللة	معامل استدارة الحوض	معامل شكل الحوض	عرض الحوض كم	طول الحوض كم	مساحة الحوض كم ²	محيط الحوض كم
٠٠٤٥	٠٠٢	٠٠١٦	٦٦٢	٤١٠٧	٢٧٢١٦	١٢٦٢٥

(٢) الخصائص التضاريسية :

يوضح الجدول رقم (٣) نتائج قياس المتغيرات التضاريسية لحوض وادي بطحان وهو التالي:
الارتفاع الأقصى والأدنى (Maximum and Minimum Basin Height) : ورمز اعلى ارتفاع (Z) وادنى ارتفاع (z) وهو يعكس أعلى وأقل قيمة منسوب على خط تقسيم المياه. ولقد بلغ اعلى ارتفاع بوادي بطحان ١٣٦٢ مترا. أما أدنى منسوب على خط تقسيم المياه وهي

تمثل نقطة المصب للحوض قد بلغت ارتفاع ٥٨٨ متر، ويوضح شكل رقم (٢) مناسبات الارتفاعات لحوض وادي بطحان بالاعتماد على نموذج الارتفاعات الرقمية ذات درجة وضوح .٣٠

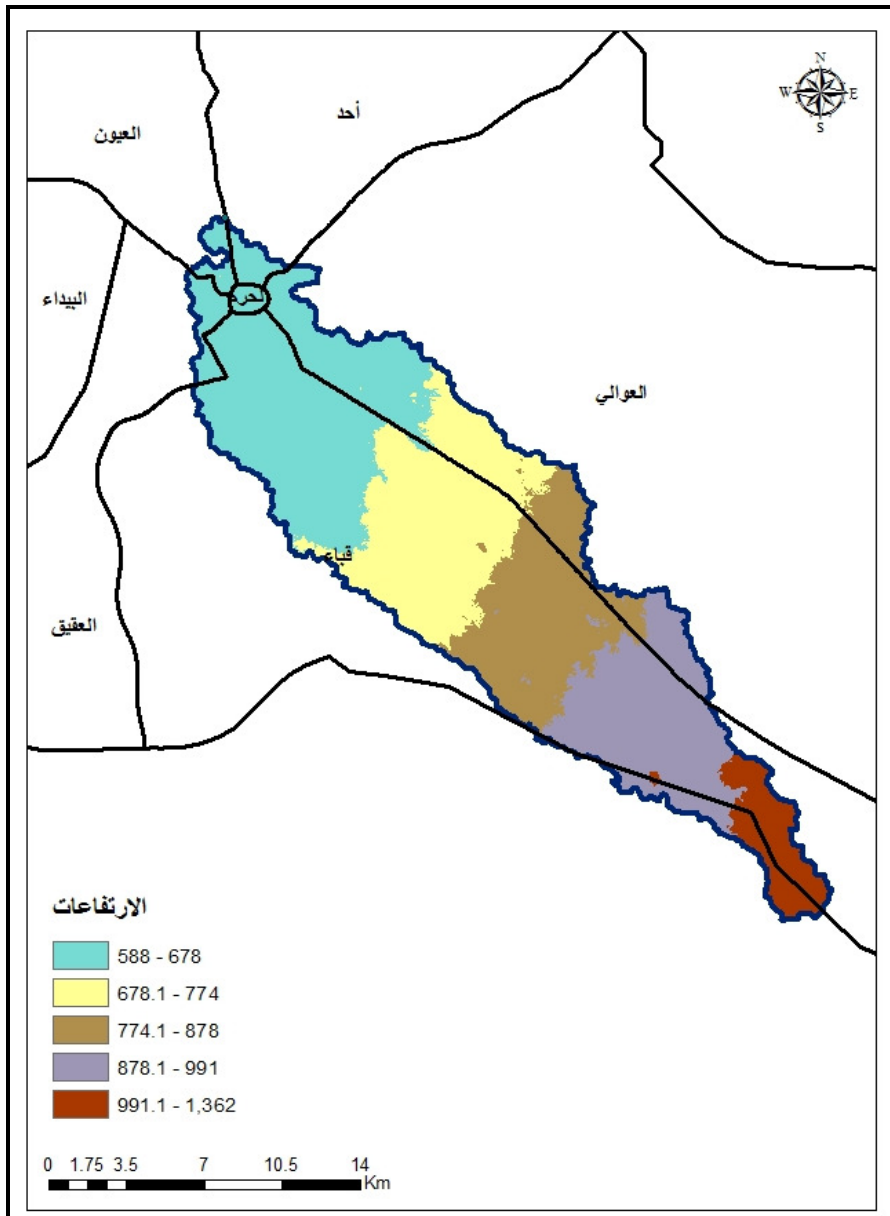
درجة الانحدار للحوض (Degree of Slope). تحليل الانحدار هو متغير هام في الدراسات المورفومترية. وتعرف شبكة الميل (المنحدرات) على انه الحد الاعلى لمعدل التغير في القيمة من كل خلية إلى الخلايا المجاورة (Burrough, 1986). ويوضح شكل (٣) مستويات الانحدار لوادي بطحان بالاعتماد على البيانات المستخدمة من نموذج الارتفاعات الرقمي. ويظهر من الشكل توزع فئات الانحدار لوادي بطحان إلى فئات ست اقلها ما بين ٢٠ وأعلاها ما بين ٥٢-٤٢ درجة. ونلحظ من الشكل أن معظم مساحة الحوض ينحصر درجة انحدارها ما بين ٥-٢ مع مساحات ضيقة ترتفع فيها درجات الانحدار إلى ٤٢ عند مصايب مجاريه العليا. كما توضح شكل رقم (٤) جهات الانحدار لحوض وادي بطحان حيث يلاحظ توزع اتجاهان لانحدار الوادي ما بين الجنوب والجنوب الشرقي وجهة الغرب في أغلبه.

التضرس (Relief) ويرمز له (R): يعرف التضرس هو الفرق بين أعلى وادنى ارتفاع في الاحواض. وهو متغير مهم لفهم خصائص الاحواض وتدفقات المياه السطحية والجوفية وكذلك نفاذية المياه في الاحواض (Magesh, et al., 2011). القيمة المرتفعة للتضرس يدل على خطورة تدفق المياه. في هذه الدراسة اظهرت النتائج ان التضرس في وادي بطحان ٧٧٤ متر وهذا ما يعني ان التضرس متوسط وغير مرتفع وبالتالي فان تدفق المياه في وادي بطحان لا يشكل خطورة.

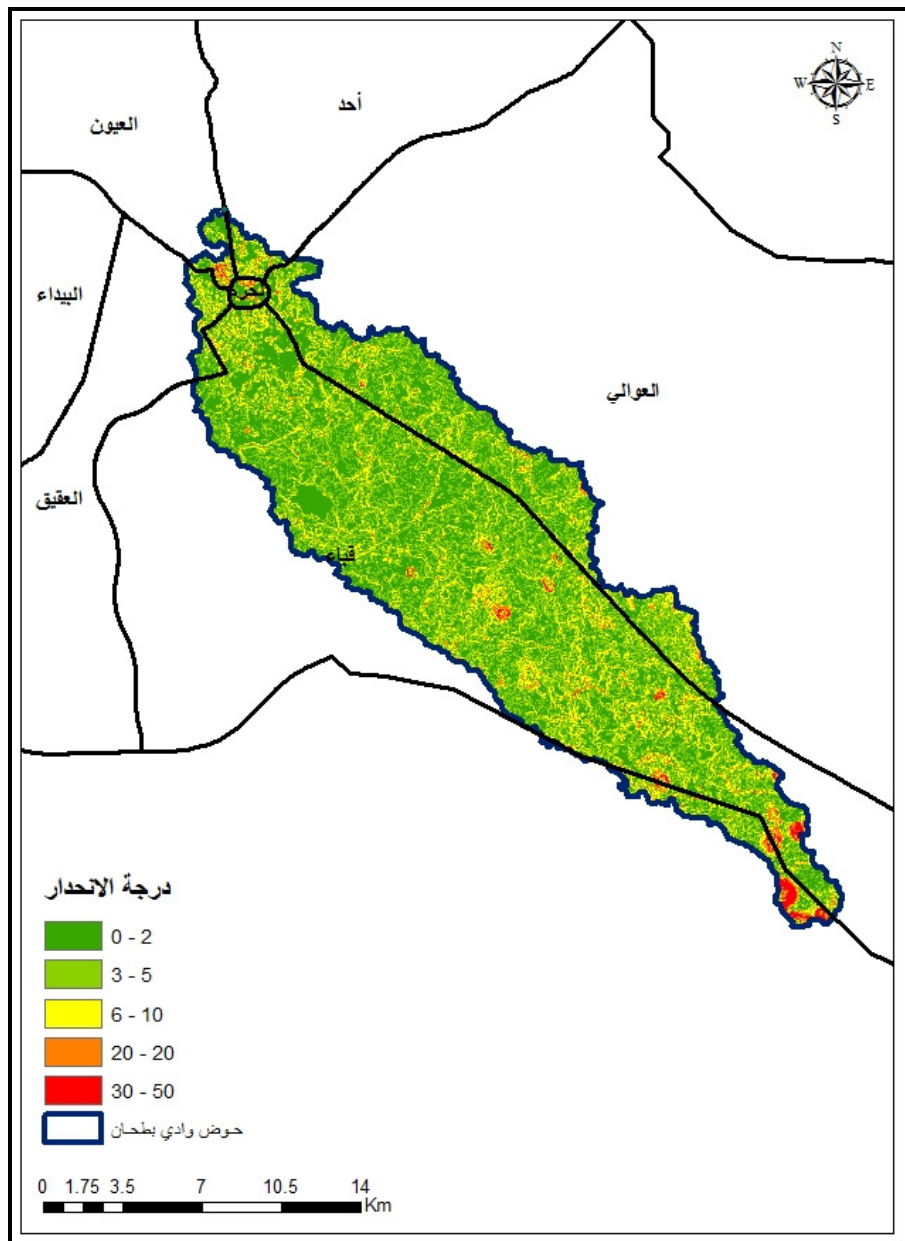
التضاريس النسبية (Relief ratio) ويرمز له (Rr): التضاريس النسبية فعالة لقياس الانحدار الكلي من الحوض والتعرف على المحيط (Schumm, 1956). حيث ان هنالك علاقة بين التضاريس النسبية وتدرج القوافل المائية والعكس صحيح. وتبلغ نسبة التضاريس النسبية لحوض وادي بطحان ١٨٨٪، ما يدل على ان نسبة التغير منخفضة داخل الحوض بسبب مرحله منقدمة في عمليات التعرية التي تعرضت لها السفوح الجبلية داخل الحوض.

جدول (٣) : نتائج قياس المتغيرات المورفومترية لحوض وادي بطحان.

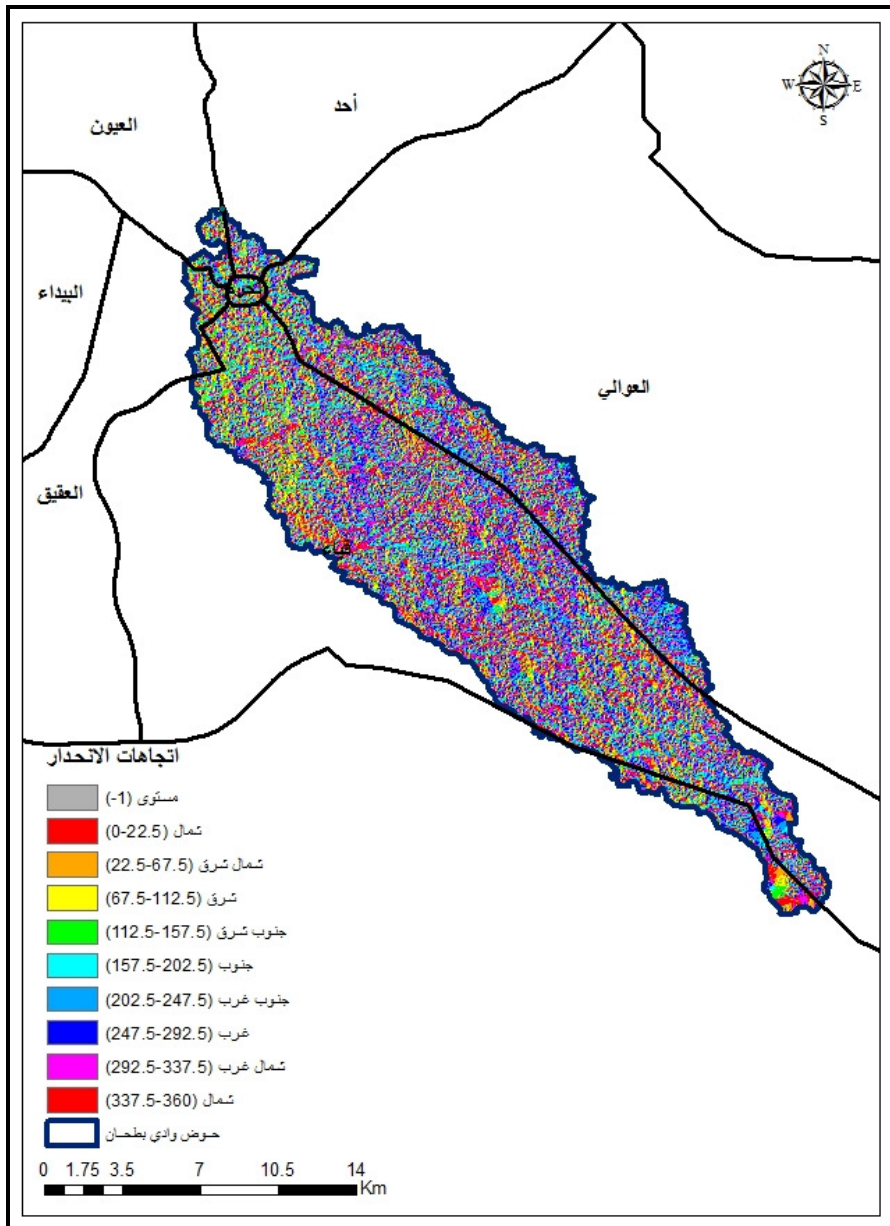
التضاريس النسبية	التضرس	درجة الانحدار للحوض	أدنى ارتفاع (م)	أقصى ارتفاع (م)
٠,١٨٨	م ٧٧٤	٥٢ - ٠°	٥٨٨	١٣٦٢



شكل (٢) : الارتفاعات لحوض وادي بطحان بالاعتماد على نموذج الارتفاعات الرقمية (بالمتر).



شكل (٣) : درجة الانحدار لحوض وادي بطحان.

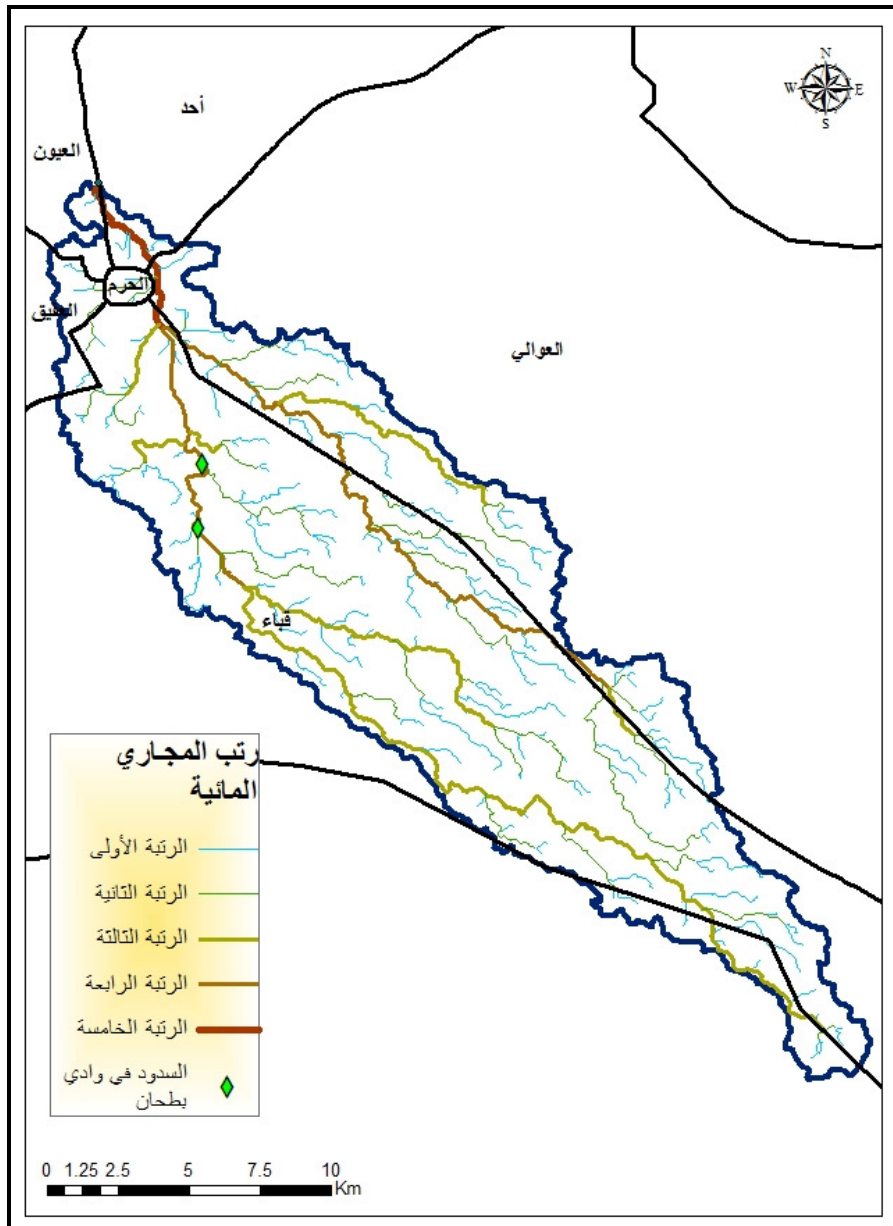


شكل (٤) : جهات الانحدار لوادي بطحان.

(٣) خصائص الشبكة المائية :

جاءت البحوث الجيومورفولوجية الكمية منذ منتصف الأربعينيات الميلادية من القرن الماضي بالعديد من طرق الترتيب الهرمي لمجاري الشبكة المائية والتي من أهمها طريقة هورتون Horton، وطريقة سترايلر Strahler وطريقة شريف Shreve. حيث أن البيانات المورفومترية الكمية بين المجاري تنتهي إلى ترتيب هرمي يعكس مختلف العلاقات المكانية القائمة بين الروافد المشععة بالشبكة المائية فإن هذا الترتيب الهرمي لمختلف مجاري الشبكة المائية يدل على مرحلة التعرية أو الدورة التحاتية التي وصل إليها الحوض الهيدروغرافي (الجيدي وبوروية ١٤٢٨هـ). وتعتبر طريقة سترايلر A.N المعتمدة في هذه الدراسة أكثر الطرق المورفومترية المستعملة في تحديد الترتيب الهرمي للشبكة المائية وتصنيف التطور المورفوديناميكي لأحواض التصريف نظراً لسهولة وسرعة تطبيقها في ArcGIS. كما وتساعد هذه الطريقة في الوصول إلى مقارنات كمية بين مختلف الأحواض المائية تسمح بمقارنة حوض وادي بطحان ببعض الأحواض الهيدروغرافية الأخرى التي تمت دراستها بنفس الطريقة في مناطق أخرى من المملكة العربية السعودية. ويوضح الجدول رقم (٤) نتائج قياس المتغيرات للشبكة المائية لحوض وادي بطحان والتي تأتي على النحو التالي:

- **رتب المجاري المائية (Stream Order)** (ويرمز لها U) وفيها يتم تصنيف المجاري المائية إلى رتب وفقاً لدرجها الهرمي داخل الحوض لكي تستخرج أماكن الرتب المائية واحجامها (الصالح، ١٩٩٢؛ Leopold, et al., 1964). وتعتبر طريقة سترايلر Strahler من أهم الطرق المستخدمة لتصنيف المجاري وفيها يتم حساب رتبة المجرى بناء على الترتيب الهرمي. فتكون الرتبة الأولى من المجاري الفرعية التي ليس لها فروع و في حال التقى اثنين من رتبة الدرجة الأولى يتكون مجرى الرتبة الثانية وكذلك في الرتب التالية (Chow, et al., 1988).
- تشير النتائج أن وادي بطحان يتكون من خمسة رتب كما يوضح ذلك في الشكل رقم (٥).
- **عدد المجاري المائية واطوالها (Stream Number)** (ويرمز لها Nu). وهي مجموع الروافد المكونة لرتبة معينة بشكل عام حيث يقل عدد الروافد بالتدرج كلما زادت الرتبة. وبلغ مجموع عدد المجاري لجميع الرتب لوادي بطحان خمسة رتب بمجموع روافد ٢٢٢ رافداً وبمجموع أطوال تقدر بـ ٤٥٥,٣٧١ كم.
- **طول الرتب (Stream length)** (ويرمز لها Lu). طول الرتب تقاس من المصب إلى منبع الروافد المائية. وهي تقدير متوسط مجموع طول الرتبة في كل الرتب. في المناطق التي توجد بها طبقات نفاذية عالية لديها القليل من الرتب الطويلة. بينما الأحواض ذات المسامية العالية تكون لديها اعداد كبيرة من الرتب ذات اطوال صغيرة (Abdulkareem, 2018). وبلغ مجموع اطوال الرتب في حوض وادي بطحان ٤٦,٣٧١ كم.



شكل (٥) : شبكة المجاري المائية لحوض وادي بطحان.

- **معدل طول الرتب Stream length ratio** ويرمز له (Lur). وهو معدل يعبر به عن مدى العلاقة بين مجموع أطوال الرتبة الواحدة ومجموع أطوال الرتبة التي تليها في الترتيب (Horton, 1932). ويترافق مقدار معدل طول الرتب بحوض وادي بطحان ما بين ٣,٢٥-٠,٣٥ وهو مدى مرتفعاً ينبي عن مدى تأثير طبغرافية وانحدار سطح الوادي على معدل طول رتب الحوض.
- **نسبة التشعب Bifurcation ratio** ويرمز له (Rb). تعد نسبة التشعب من أهم مقاييس التحليل المورفومترى لدلالة على التغيرات التي تصاحب مجاري الحوض نتيجة لظهور عوامل التعرية والبنية الجيولوجية والتركيب الصخري في الحوض (Schumm, 1956). فهي تعكس مدى توسيع المجاري المائية ومدى التأثر الذي يعانيه سطح الحوض من الحفر الرئيسي بواسطة الروافد (Strahler, 1964). تشير النتائج على أن معدل مدى التشعب لودي بطحان ما بين ٣,٨٨ إلى ٤,٧ كما في الجدول رقم (٤). فلقد سجلت رتب الوادي معدلات متباينة لمدى التشعب إذ بلغت في المرتبة الثانية ٣,٨٨ بينما بلغت ٤,٧٨ و ٤,٥٠ في المرتبتين الثالثة والرابعة قبل أن تنخفض انخفاضاً حاداً في المرتبة الخامسة إذ بلغت ٢,٥٠. ويعزى ذلك لاختلافات البنية الجيولوجية والتركيب الصخري للوادي. فجد أن الرتب ذات المدى المنخفض لمعدل التشعب تعطي مؤشراً لعدم انتظام البنية الجيولوجية ونفادية التركيب الصخري لها ولضعف فعالية عوامل التعرية بها على عكس الرتب التي تسجل مدى أعلى من التشعب إذ تعطي مؤشراً لمدى التعقيد للبنية الجيولوجية وفعالية عوامل التعرية وضعف نفادية التركيب الصخري لحوض الوادي (Strahler, 1964). وبلغ متوسط معدل التشعب لحوض وادي بطحان ٣,٧٩ وهو يدل على محدودية تأثير البنية الجيولوجية وعوامل التعرية ونفادية التركيب الصخري بالوادي.

جدول (٤) : نتائج قياس متغيرات شبكة التصريف لحوض وادي بطحان.

الترتيب	عدد المجاري	الطول (كم)	متوسط طول الرتبة	معدل طول الرتب	نسبة التشعب
الأولى	١٦٧	١٦٤,٤٢	٠,٩٨		
الثانية	٤٣	٩٧,٢٧	٢,٢٦	٢,٣٠	٣,٨٨
الثالثة	٩	٦٦,١٣	٧,٣٥	٣,٢٥	٤,٧٨
الرابعة	٢	٣٧,١٣	١٨,٥٦	٢,٥٣	٤,٥٠
الخامسة	١	٦,٥١	٦,٥١	٠,٣٥	٢,٠٠
المجموع	٢٢٢	٣٧١,٤٦	١,٦٧	٨,٤٢	٣,٧٩
متوسط نسبة التشعب					

٤) خصائص نسيج الحوض :

يوضح الجدول رقم (٥) نتائج قياس المتغيرات خصائص نسيج حوض وادي بطحان والذي بلغة كثافة تصريف المياه في الحوض $1,36 \text{ كم}^3/\text{كم}^2$ وتأتي نتائج متغيرات نسيج الحوض على النحو التالي:

- كثافة التصريف Drainage density ويرمز له (Dd). وهو مؤشر يستخدم للدلالة على قياس تقطيع أرضية الحوض وتأثيرها على قدرة الجريان السطحي (Chorley, 1969). ويؤثر في حساب الكثافة التصريفية للحوض خصائص التركيب الصخري والتربة (Smith 1958; Moglen et al. 1989; Kelson and Wells 1989)؛ العوامل المناخية وكثافة الغطاء النباتي (Khosla and Singh 1998)، والأنسان كعامل جيورمولوجي (الحواس، ١٤٢٨). وبالتالي تلعب كثافة التصريف دوراً كبيراً في تأثير السيول على المنطقة الحضرية الواقعة في أسفل الوادي وذلك للاسباب التالية:

 - ١- يزداد زمن الترکیز للحوض المائي كلما زادت كثافة التصريف بواسطة زيادة أطوال المجاري مما يؤدي إلى تمديد الفترة الزمنية لعملية تسرب المياه إلى باطن التكوينات الصخرية ومن ثم تأخر ظهور السيول على السطح.
 - ٢- يتقلص زمن الترکیز للحوض المائي كلما زادت كثافة التصريف بواسطة عدد مجاري الرتب الدنيا مما يساعد على سرعة إستجابة التكوينات الصخرية لمياه الأمطار وسرعة ظهور السيول نتيجة سهولة عملية الجريان السطحي بواسطة المجاري القصيرة (الجيديي وبورووة، ١٤٢٨ هـ).

وتشير نتائج التحليل إلى انخفاض معدل كثافة التصريف في حوض وادي بطحان التي تبلغ $1,36 \text{ كم}^3/\text{كم}^2$ مما يدل على القابلية الفاذية لطبقات التركيب الصخري مما يؤدي إلى بطيء تأثير السبوب (جدول ٥).

- تكرار الرتب Stream Frequency** ويرمز له (F_s) : تعبّر تكرارية المجرى عن العلاقة النسبية بين عدد المجرى ومساحة التصريف المائي وهي تعكس من الناحية المورفوديناميكية درجة تعدد سفوح الحوض الهيدروغرافي تحت تأثير عمليات الحث بواسطة المياه الجارية السطحية على ضفتي المجرى الرئيس بين خط تقسيم المياه ومصب الحوض الهيدروغرافي وعليه فإن زيادة عدد المجرى بواسطة التعريبة المائية يؤدي بالضرورة إلى زيادة أطوالها المؤدية بدورها إلى زيادة كثافة التصريف. ويبدو أن تكرارية المجرى بحوض وادي بطحان منخفضة لأنخفاض عدد المجرى وبالتالي تتوافق مع انخفاض كثافة التصريف. ولقد بلغ

مقدار تكرار الرتب في وادي بطحان ٠,٨٢، مما يدل على التأثير الهامشي للتساقط ونفاذية التربة في حوض وادي بطحان.

- **نسيج التصريف Drainage Texture** ويرمز له (T) : وهو نتائج العلاقة ما بين تكرارية الرتب ومعدل كثافة التصريف للحوض. ويؤثر في حسابه عدة عوامل منها: البنية الصخرية؛ قدرة التصريف؛ ومقدار الانحدار لسطح الحوض. ولقد صنف (Smith, 1950) فئات نسيج التصريف إلى أربع فئات وهي كالتالي:

الفئة الأولى: خشنة أقل من ٤

الفئة الثانية: متوسطة الخشونة ٤ - ١٠

الفئة الثالثة: الناعمة فوق ١٠

الفئة الرابعة: ناعمه جداً أكثر من ١٥

ولقد بلغ معدل نسيج التصريف بواudi بطحان ١,١١ مما يدل على خشونة نسيج التصريف لوادي بطحان. وهذا قد يعزى إلى انحدار الوادي إلى الغرب والشمالي الغربي في أعلىه وبمتوسط انحدار .٦٢,٢%

- **طول التدفق الأرضي Length of overland flow** : ويرمز له (Lo). وهو يعبر عن طول امتداد الجريان السطحي للماء قبل أن يتم ترکز جريانه في روافد الحوض. بمعنى آخر هو متوسط طول جريان السطح المستوي من خط تقسيم المياه قبل أن يتم تكوين مجاري الرتبة الأولى (Chorley, 1969). وهو يقيس اتساع المجاري ودرجات التقاطع الأرضي لسطح الحوض. ويدل انخفاض معدل طول التدفق الأرضي أن مياه الأمطار ستتجاز مسافات طويلة حتى تستطيع تكوين روافد مجاري الرتبة الأولى على العكس عندما يكون المعدل مرتفعاً (Chitra, et al., 2011). ولقد بلغ طول التدفق الأرضي لحوض وادي بطحان ١,٤٧ وهذا المعدل أن مياه الأمطار بالحوض تحتاج إلى قطع مسافات طويلة حتى تكون مجاري الرتبة الأولى.

جدول (٥) : نتائج قياس متغيرات تحليل نسيج التصريف لحوض وادي بطحان.

كثافة التصريف	تكرارية الرتب	معدل النسيج	طول التدفق الأرضي
١,٣٦	٠,٨٢	١,١١	١,٤٧

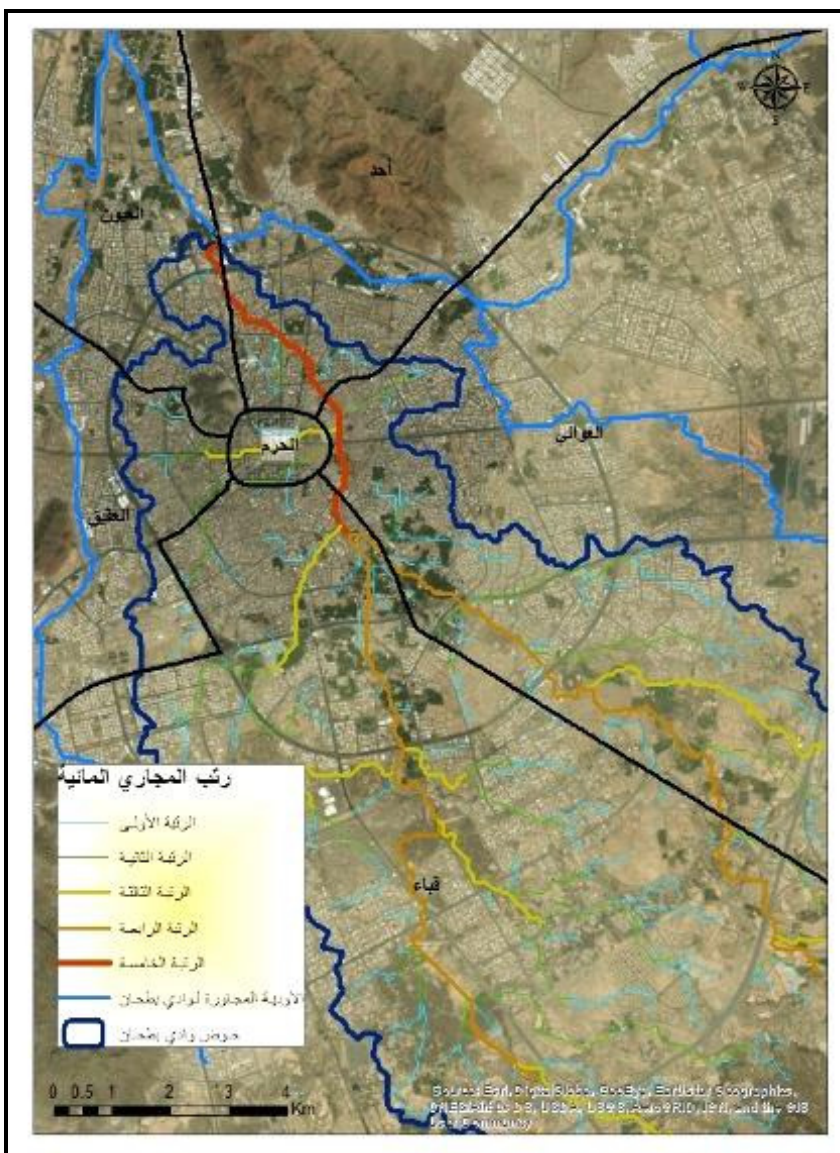
النتائج :

يوضح الشكل رقم (٦) موقع الحرم النبوي الشريف في مصب وادي بطحان. حيث يقع الحرم بشكل كامل في الحوض الأنذى للوادي الذي يمر مجراه الرئيسي من الجهة الشرقية لمنطقة الحرم. وبالتالي يلتقي المجرى الرئيسي لوادي بطحان مع المجرى الرئيسي لوادي قناة في شمال الحرم النبوي بالقرب من جبل أحد (شكل ٧). كما يظهر على الشكل السدود التي اقامتها امانة منطقة المدينة المنورة للحد من تدفق السيول وتقليل اخطارها على الحرم النبوي. وتبلغ مساحة حوض التصريف للوادي ما يقارب ٢٧٢ كم^٢ وطول محيطه ١٢٦ كم. وتبلغ نسبة متوسط إنحدار الحوض ٢,٢% بين أقصى إرتفاع (١٣٦٢ م) وأنذى إرتفاع (٥٨٨ م) بمتوسط إرتفاع يصل إلى ٩٧٥ م. أما خصائص الحوض الشكلية والتضاريسية فيميل سطح الحوض تدريجياً وبانتظام من الجنوب الشرقي نحو الشمال الغربي بإحداثيات تتوزع فناتها إلى ست فنات أقلها ما بين ٢٠ وأعلاها ما بين ٤٢-٥٢ درجة حتى ينتهي بالقرب من الحرم النبوي الشريف. ومن حيث الشكل يأخذ هذا الحوض شكلًا مستطيلاً بطول يبلغ ٤١ كم في حين تبلغ المسافة الفاصلة بين مركز نقل الحوض ومصبه ٢٠ كم. ولذا فإن معامل الإستطالله لهذا الحوض لا يتعدى ٤٥٠، وهو يعكس الشكل المتطاول والمساحة الصغيرة لهذا الحوض بينما يبلغ معامل الشكل ١٦٠، باستدارة تصل إلى ٠,٢. وتنتمي شبكة المجاري المائية في نظام شجري (Dendritic) تظاهر فيه المجاري المائية محدودة وضيقه وقصيرة عند المنابع في أعلى الحوض بالقرب من خط تقسيم المياه ثم تتناقص عددياً وتتدرجياً كلما اتجهنا نحو الحوضين الأوسط والأذى. أما بالنسبة لكمية تنفق النزوة القصوى فقد تم تقديرها في وادي بطحان فقد جرى تقديرها في الحوض الأعلى للوادي بما يقارب ١٣٢ م^{٣/ث} (AlAhmadi and AbdRahman, 2018). وتنظر نتائج التحليل المورفومترى لهذه الدراسة اختلافاً في حدود ومساحة حوض التصريف لوادي بطحان عن الدراسة التي اشار لها الاحدمي (٢٠١٦). فقد أثر تحويل بعض مجاري المياه في الحوض الأوسط لوادي بطحان في عام ١٩٩٥م إلى وادي العقيق المجاور على شكل الحوض الذي كان يقترب من الشكل الدائري قبل (شكل ٨).

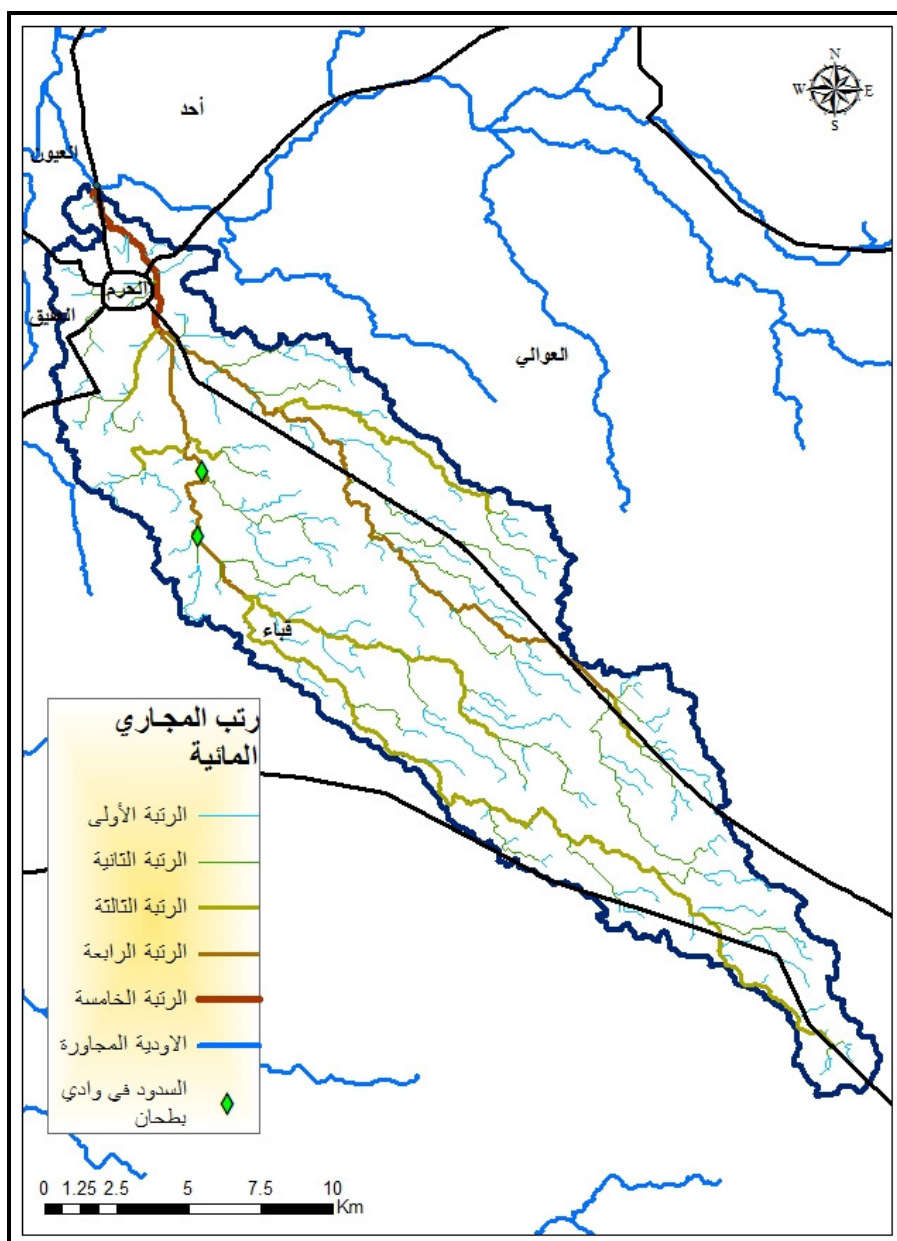
وتأتي تفاصيل شبكة المجاري المائية على النحو التالي:

- ١) يبلغ مجموع مجاري المسبلات الصغيرة المسماة جيومورفولوجياً بالرتبة الأولى ما يقارب ١٦٧ مجرى أي ما يعادل ٧٥% من مجموع مجاري حوض وادي بطحان.
- ٢) يبلغ مجموع مجاري الرتبة الثانية ما يقارب ٤٣ مجرى أي ما يعادل ١٩,٣% من مجموع مجاري حوض وادي بطحان.
- ٣) يبلغ مجموع مجاري الرتبة الثالثة ما يقارب ٩ مجاري أي ما يعادل ٤% من مجموع مجاري حوض وادي بطحان.

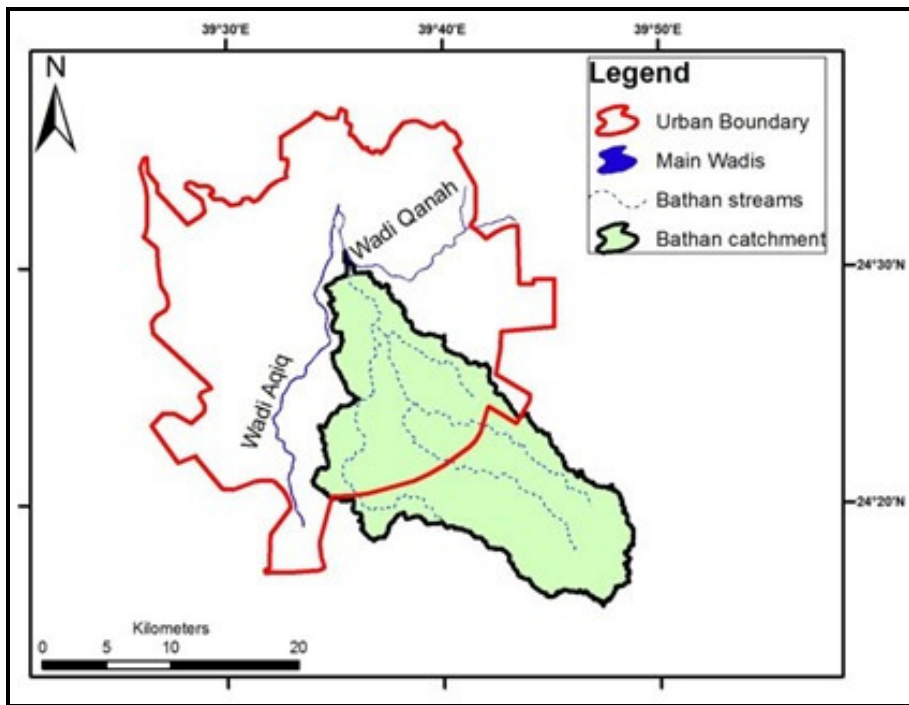
(٤) يبلغ مجموع مجاري الرتبة الرابعة ٢ مجرى أي ما يعادل ٠,٩ % من مجموع مجاري حوض وادي بطحان. وتتناسب هذه الرتبة مع نسبة التشعب المرتفعة التي تقارب ٤ بين مجاري الرتب الأولى والخامسة.



شكل (٦) : علاقة وادي بطحان بالحرم النبوي الشريف.



شكل (٧) : علاقة حوض وادي بطحان بالمجرى الرئيسي للأودية المجاورة.



شكل (٨) : حدود حوض وادي بطحان قبل تحويل مجاري المياه الى وادي العقيق في عام ١٩٩٥م.
المصدر: (Alahmad, 2016).

يتشابه الترتيب الهرمي للمجاري المائية لحوض وادي بطحان بترتيبه الخامسة مع الترتيب الهرمي لبعض الأودية المجاورة التي تصرف صخور الدرع العربي مثل وادي قناة ووادي العقيق (الدواعن، ١٩٩٩) وذلك بسبب تماثل التكوين الجيولوجي. ويدل إنخفاض كثافة التصريف ($1,36 \text{ كم}/\text{كم}^2$) في الحوض على القابلية النافية لطبقات التركيب الصخري مما يؤدي إلى بطئ تأثير السيول على المنطقة الحضرية.

وتوضح هذه الدراسة أن تناول الأحواض النهرية بطريقة تكاملية تجمع ما بين امكانيات نظم المعلومات الجغرافية ونموذج الارتفاعات الرقمية DEM ودراسة سلوكيات الوادي يعطي بعدها أوسع وأدق من الدراسات أحادية الاتجاه. ولقد أوضحت دراسة المتغيرات الموفومترية لحوض وادي بطحان أن مجرى القناة الرئيسية لا يشكل خطورة على الحرم النبوي الشريف. ولكن قد يؤدي التوسيع العمراني باتجاه المجاري الرئيسية دون المحافظة على ابعادها الطبيعية الى التأثير على المنطقة العمرانية والحرم النبوي الشريف.

كما أن هذه الدراسة لاتعد متكاملة بذاتها إلا اذا دعمت بدراسات توضح جوانب التغير في النطاق العمراني وما صاحبه من تغير لمجاري الوادي وروافده. كما الدراسات التي تعنى بالجوانب الهيدروجيومورفولوجية التي تقدم بعدها آخر لقياس مدى تفاعل العوامل المختلفة وتحكمها في تشكل الوادي وتحديد سلوكه السيلي.

المراجع

أولاً : المراجع العربية.

١. آل سعود، مشاعل بنت محمد، (١٤٢٣هـ)، تطبيقات تقنية الاستشعار عن بعد والأساليب الجيوبسيّة المتقدمة في دراسة مورفومترية الوديان الجافة، بحوث جغرافية، الندوة السابعة، أقسام الجغرافيا بجامعات المملكة العربية السعودية، المملكة العربية السعودية.
٢. العجيفي، فرمان بن حسين، (٢٠٠٤م)، استخدام صور الاستشعار عن بعد الرقمية عالية الوضوح المكانية لتحديد امتداد فيضانات السيول في سهل الخرج، بحوث جغرافية، الجمعية الجغرافية السعودية، جامعة الملك سعود، العدد (٧١)، الرياض، المملكة العربية السعودية.
٣. الحواس، عساف بن علي، (٢٠٠٧م)، توظيف تكاملى لتقنيات الاستشعار عن بعد ونظم المعلومات الجغرافية لتحديد وتحليل الخصائص الهيدرومورفومترية لأحواض التصريف الصحراوية، الجمعية الجغرافية السعودية، جامعة الملك سعود، العدد (٨١)، الرياض، المملكة العربية السعودية.
٤. الدوعان، محمود بن ابراهيم، (١٩٩٩)، الأولية الداخلية إلى منطقة الحرم بالمدينة المنورة، الجمعية الجغرافية السعودية، جامعة الملك سعود، العدد (٣٨)، الرياض، المملكة العربية السعودية.
٥. سلامه، حسن رمضان، (١٩٨٠م)، التحليل الجيومورفولوجي للخصائص المورفومترية للأحواض المائية في الأردن، دراسات العلوم الإنسانية، مجلد (٧)، العدد (١)، عمان الأردن.
٦. الصالح، محمد بن عبدالله، (١٩٩٢م)، بعض طرق قياس المتغيرات في أحواض التصريف، بحوث جغرافية، العدد (٢٧)، مركز البحث - جامعة الملك سعود، الرياض، المملكة العربية السعودية.
٧. الصيدلاني، خالد بن عتيق، (١٤٣٠هـ)، السلوك المتوقع لفيضان وادي بطحان وأخطاره على المنطقة المركزية في المدينة المنورة، الندوة الولية عن إدارة الكوارث، وزارة الداخلية، الرياض، المملكة العربية السعودية.
٨. عبدالعزيز، متولي عبدالصمد، (٢٠١٢هـ)، التحليل الكمي المقارن لكثافة التصريف مع التطبيق على حوض وادي العاوق بالمدينة المنورة، بحوث جغرافية، الجمعية الجغرافية السعودية، جامعة الملك سعود، العدد (٩٧)، الرياض، المملكة العربية السعودية.
٩. الغامدي، سعد ابوراس، (٢٠٠٤م)، استخلاص الشبكة التصريف السطحي للمياه باستعمال المعالجة الآلية لبيانات الاقمار الصناعية: دراسة على منطقة جبال نعمان، مجلة جامعة أم القرى للعلوم التربوية والاجتماعية والانسانية، المجلد (١٦)، العدد (٢)، مكه المكرمة، المملكة العربية السعودية.

١٠. محسوب، محمد صبري، (٢٠٠٣م)، القاموس الجغرافي الجوانب الطبيعية والبيئية، الطبعة الأولى، مطبعة الاسراء، القاهرة، مصر.

ثانياً : المراجع غير العربية.

1. Alahmadi, F. and Absrahman, N. (2015): Rainfall-Runoff Modeling At Upper Bathan Catchment, Madinah, Western Saudi Arabia. The 3rd International Conference on WATER RESOURCES (ICWR-2015), Langkawi, Malaysia.
2. Alahmadi, F.S. (2016): Flood Modeling of Ungauged Arid Volcanic Environment of WadiBathan in Almadinah, Saudi Arabia, (doctoral dissertation). Faculty of Civil Engineering, University of Teknologi Malaysia, Malaysia.
3. Burrough, P.A. (1986): Principles of geographical information systems for land resources assessment. Oxford University Press, New York, p. 50.
4. Horton, R.E. (1932): Drainage basin characteristics. Transactions of the American Geophysical Union, 13: 350-361.
5. Horton, R.E. (1945): Erosional development of streams and their drainage basins; Hydro-physical approach to quantitative morphology. Bulletin of the Geological Society of America, 56: 275-370.
6. Miller, V.C. (1953): A quantitative geomorphic study of drainage basin characteristics in Clinch Mountain Area, Virginia and Tennessee. Technical Report, 3. Office of the Naval Research. Dept. of Geology, Columbia University, New York.
7. Schumm, S.A. (1956): Evolution of drainage systems and slopes in badlands at Perth Amboy, New Jersey. Bulletin of the Geological Society of America, 67: 597-646.
8. Singh, S. and Singh, M.C. (1997): Morphometric analysis of Kanhar river basin. National Geographical Journal of India, 43: 31-43.
9. Smith, K.G. (1950): Standards for grading texture of erosional topography. American Journal of Science, 248: 655-668.
10. Strahler, A.N. (1957): Quantitative analysis of watershed geomorphology. Transactions of the American Geophysical Union, 38: 913-920.
11. Strahler, A.N. (1964): Quantitative geomorphology of drainage basins and channel networks. In: Chow Chow, V., Ed., Handbook of applied hydrology. McGraw Hill, New York, pp. 439-476.
12. Magesh NS, Chandrasekar N, Soundranayagam JP (2011): Morphometric evaluation of Papanasam and Manimuthar watersheds,parts of Western Ghats, Tirunelveli district, Tamil Nadu, India: A GIS approach. Environ Earth Sci., 64(2): 373-381.
13. Abdulkareem, J.H., Pradhan, B., Sulaiman, W.N.A., Jamil, N.R. (2018b). Quantification of runoff influenced by morphometric characteristics in a rural complex catchment. Earth Syst. Environ., 2 (1): 145-162. <https://doi.org/10.1007/s41748-018-0043-0>

Wadi Bathan (Al-Madīnah Al-Munawwarah): A Morphometric Study Using the Digital Elevation Model (DEM)

ABSTRACT

Wadi Bathan, one of the most important valleys of Madinah in the impact on the Prophet's Mosque, is fully covered within the basin of the lowest valley, which has a drainage area 272.16 km^2 . This study adopted its methodology for the digital elevation model capabilities to extract morphometric properties and analysis using GIS. Wadi Bathan considered the valleys of the fifth rank with a total of 222 streams and a total length of 371.455 km. Despite the fact that the Prophet's Mosque is completely located within the boundaries of the basin, the results indicated the limited impact of floods on the Prophet's Mosque due to a low drainage density of 1.36 km/km^2 , which leads to a slower effect of floods.

Key Word: GIS, DEM, Morphometric, Draining Basin, Wadi Bathan.